

CARACTERIZAÇÃO TERMOANALÍTICA DE PERÓXIDO DE SAMÁRIO

*Carlos Alberto da Silva Queiroz, **Jivaldo do Rosário Matos e * Alcídio Abrão.

*Comissão Nacional de Energia Nuclear
** Instituto de Química-Universidade de São Paulo
Caixa Postal 11049 - Pinheiros
05499 - São Paulo - Brasil

RESUMO

Apresentam-se os dados da caracterização de peróxido de samário por análise térmica, determinação do oxigênio ativo e determinação do óxido total por gravimetria e os valores para os elementos, C,H e N por infravermelho.

Por análise térmica (TG), observa-se na amostra de samário uma perda de massa correspondente à evolução de voláteis e água, equivalente a uma perda total de 29% e 26,2 (voláteis e água de cristalização). Este segundo valor concorda com a perda de massa determinada por calcinação do peróxido a 800°C, na obtenção do óxido normal Sm_2O_3 (25,7%).

Pela DTG, observa-se um processo de termodecomposição em multiestágios, correspondendo às perdas de água de umidade (150°C), água de cristalização (220°C), oxigênio do peróxido e parte do CO_2 (400°C) e o restante do CO_2 (800°C), possivelmente derivado do intermediário $\text{Sm}_2\text{O}_2\text{CO}_3$. Por microanálise determinou-se os teores de carbono (4,73%) e hidrogênio (1,07%), tendo sido reconhecido a presença de carbonato por espectroscopia de absorção na região do IV.

Os dados permitem concluir que a estequiometria do peróxido de samário corresponde a $\text{Sm}_2\text{O}_2(\text{CO}_3)_2 \cdot 2 \text{H}_2\text{O}$.

RESULTADOS

1- Determinação do Oxigênio por iodometria (I)

Oxigênio= 8 %

2- Determinação de Carbono, Hidrogênio e Nitrogênio por microanálise.

Carbono= 4,73 %

Hidrogênio= 1,07 %

Nitrogênio= - 0,54 %

Apresenta-se na figura 1 o espectro obtido para a amostra de peróxido de samário na região do infravermelho.

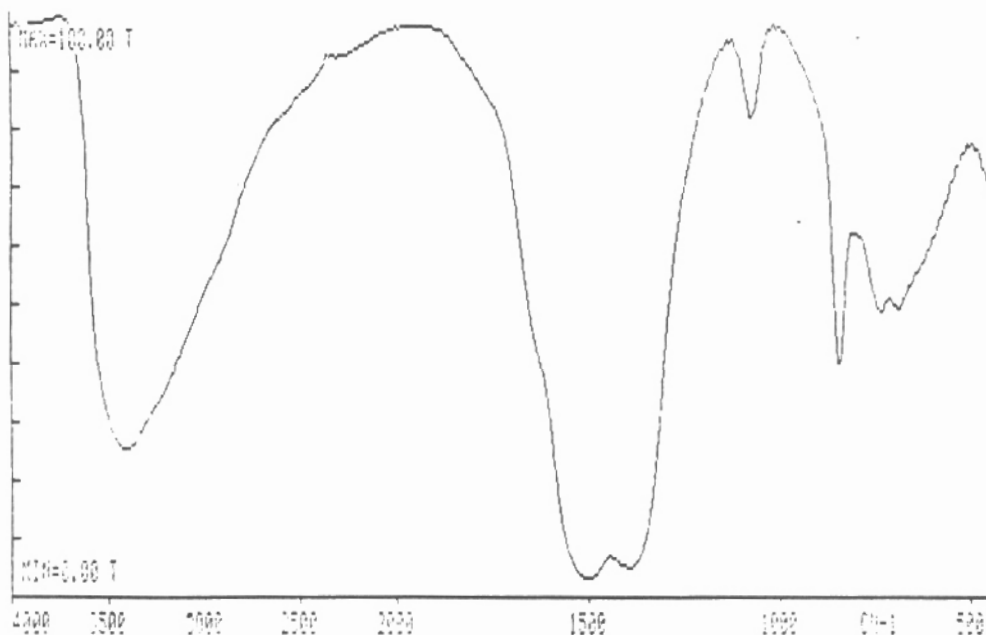


Figura 1: INFRAVERMELHO: amostra de peróxido de samário.

3- DSC

Apresentam-se nas figuras 2 e 3 os dados de entalpia no intervalo de temperatura de 50 a 300°C.

PEAK INTEGRATION

21-AUG-94 23:40

21-AUG-94 22:15 **

PEAK INTEGRATION

DYN/ISO 1/2 1
AUTOLIMIT 0/1 1
START 29
END 160
BASELINE TYPE 8
PLOT CM 10
PLOT MODE 101

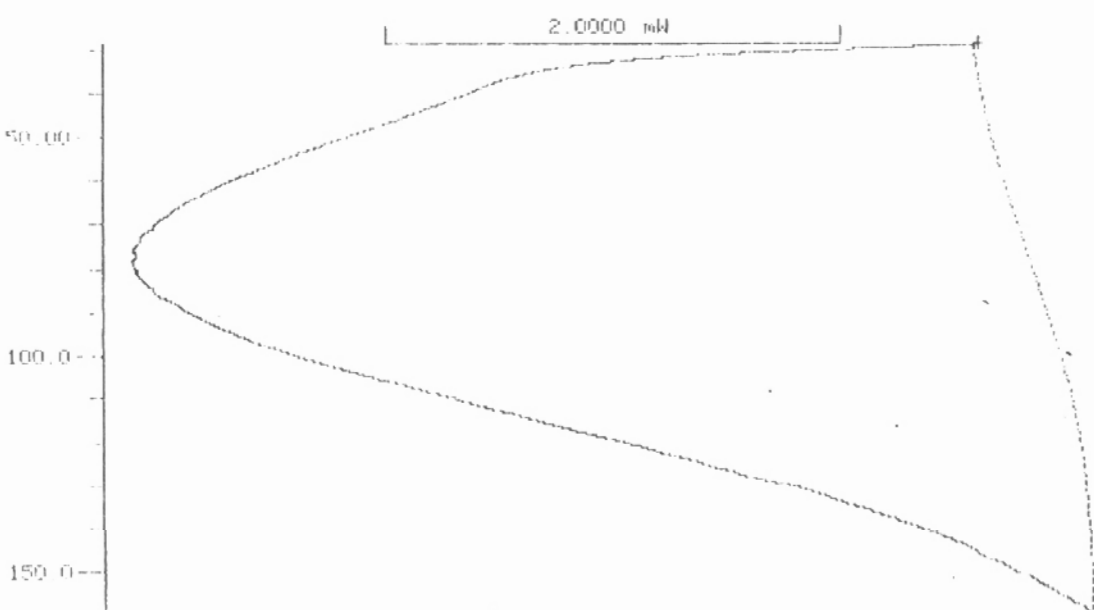
IDENT. NO. 140.12
RATE K/MIN. 10
WEIGHT mg 8.404

AUTOLIMITS

WARNING 8
WARNING 9

TEMPERATURE °C

HEAT FLOW EXOTHERMAL-->



ΔH ENDO mJ 1877.5
ΔH J/G 223.40
PEAK TEMP. °C 79.3

Figura 2: Variação de entalpia no intervalo de temperatura de 50 - 150°C para a amostra de peróxido de samário.

PEAK INTEGRATION

21-AUG-94 23:27

21-AUG-94 22:15 **

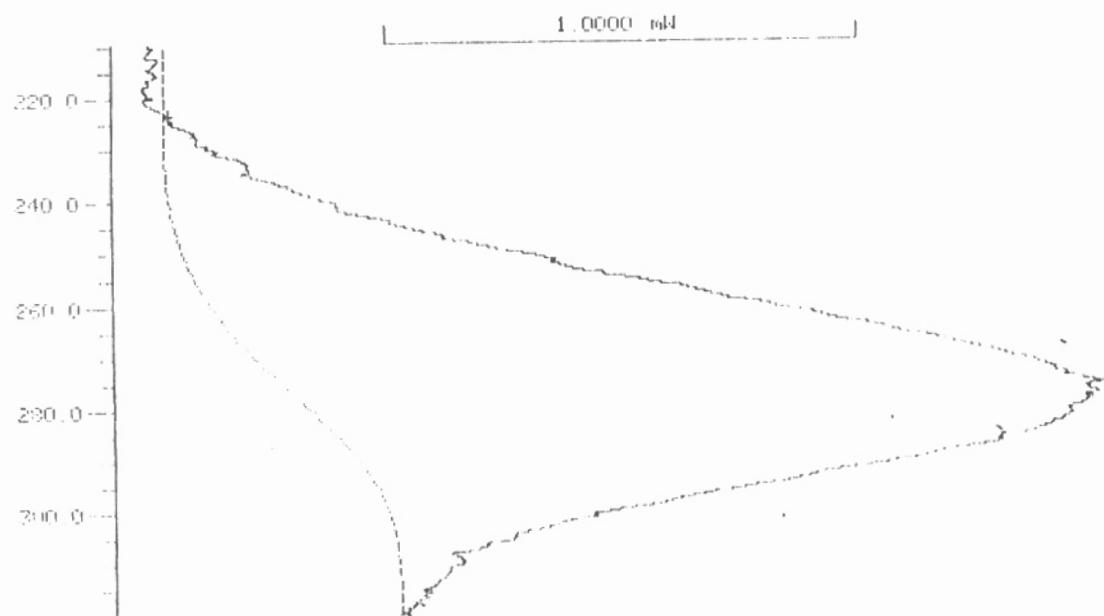
PEAK INTEGRATION

| | | |
|---------------|-----|-----|
| DYN/ISO | 1/2 | 1 |
| AUTOLIMIT | 0/1 | 1 |
| START | | 210 |
| END | | 320 |
| BASELINE TYPE | | 8 |
| PLOT | CM | 10 |
| PLOT MODE | | 101 |

| | | |
|-------------|--|--------|
| IDENT. NO. | | 140.12 |
| RATE K/MIN. | | 10 |
| WEIGHT mg | | 8.404 |

| | | |
|------------------|--|-------|
| WARNING TEMP. °C | | 223.3 |
| WARNING | | 9 |

| | |
|----------------|---------------|
| TEMPERATURE °C | HEAT FLOW |
| | EXOTHERMAL--> |



| | |
|---------------|--------|
| ΔH EXO mJ | 437.76 |
| ΔH J/G | 52.089 |
| PEAK TEMP. °C | 276.3 |

Figura 3: Variação de entalpia no intervalo de temperatura de 220 - 350°C para amostra de peróxido de samário.

4- TGA e DrTGA

Na figura 4 apresentam-se as curvas de perda de massa TG e DrTG para a amostra de peróxido de samário no intervalo de temperatura ambiente até 850 C (formação de óxido de samário estável).

LABORATORIO DE ANALISE TERMICA PROF. DR. IVO GIOLITO

File Name: QUEIROSM.D60
Collected Date: 94/08/20
Collected Time: 07:17:09
Sample Name: Sm2O6
Weight: 2.603[mg]
Cell: Platinum
Atmospher: Nitrogen
Gas Flow: 50.00[ml/min]
Comment: Exploração

Temp Program
Rate [C/min] Hold Temp [C] Hold Time [min]
10.0 920.0 0.0

Figura 6

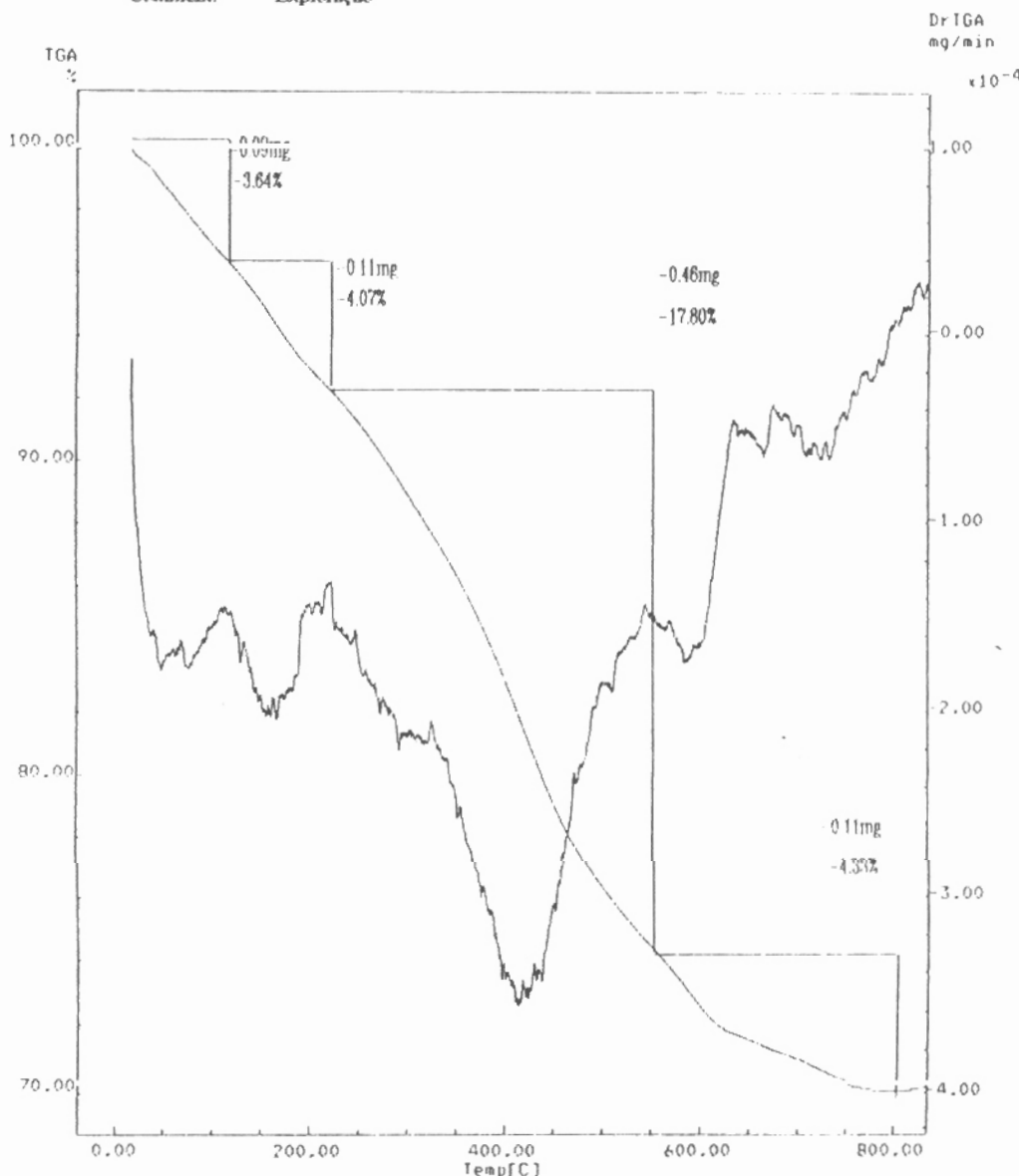


Figura 4- Curvas de perda de massa TG e DrTG para a amostra de peróxido de samário.

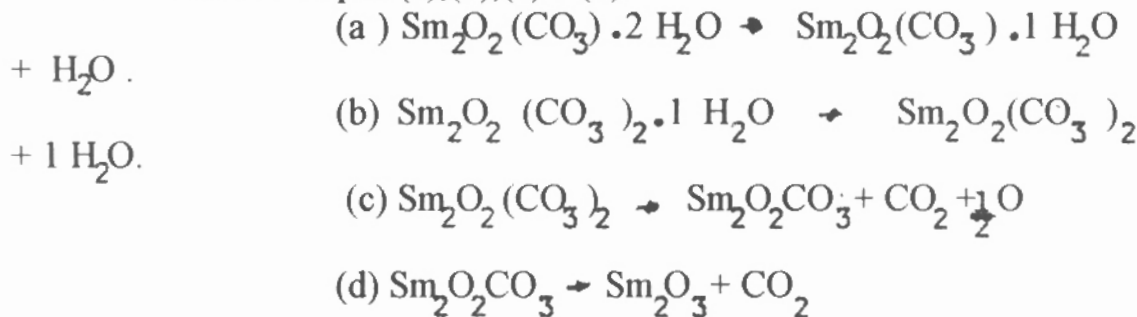
Comentários e Conclusões

Observando-se as curvas DSC na figura 2, nota-se um AH endotérmico no intervalo de temperatura ambiente até 150°C, característico de perda de água da amostra. Na figura 3, para o intervalo de temperatura de 220 a 300°C aparece um AH endotérmico, que foi interpretado como sendo devido a perda de oxigênio da amostra.

Na figura 4, a curva TG apresenta uma perda de massa contínua. Na curva DrTG, aparece um pico em 400°C, indicando uma perda de massa de 17,8 %, que indica a soma de perda de massa devido ao oxigênio e ao CO₂. A perda entre 600°C e 800°C também foi atribuída a saída de CO₂.

Subtraindo o oxigênio determinado por iodometria (8 %) de 17,8% tem-se o percentual de CO₂ que saiu no intervalo de temperatura (400°C-550°C), que é de 9,8 %. Somando-se o valor achado com o resto de CO₂ que sai entre 550°C e 800°C, tem-se 14,13 %, que corresponde ao CO₂ total, que em massa está de acordo com o percentual de carbono de 4,73 % achado por microanálise. Este percentual de carbono corresponde a duas moléculas de CO₂ no peróxido.

Com base nos dados obtidos, sugere-se para explicar as etapas de perda de massa na figura 4, as seguintes equações, características das etapas (a),(b),(c) e (d).



Sendo provavelmente a estequiometria do peróxido de samário analisado correspondente a Sm₂O₃(CO₃)₂·2H₂O.